



0604IBFF *Desarrollo de cuevas dadas por las cuarcitas*
Estación 181 *silúricas al N. de Pedreira.*



0604IBFF *Detalle del Ortoneis mesoglandular*
Estación 490 (γ^1 NG) en el Río Belelle.



06041BFF Alternancias de cuarcitas y cuar-
Estación 213 zoesquistos de edad arenigiense -
(O₁₂² T).



06041BFF Pliegue inclinal de 2ª Fase con cuarzoesquistos sinmeta-
Estación 654 mórficos plegados y a veces cortantes en la carre-
tera al Salto del Eume.



0604IBFF *Glándulas de cuarzo amatísta de hasta 4 cm. de longitud
Estación 297 en el Olló de Sapo de megacristales (PC ζ).*



0604IBFF *Kink-folds en el Olló de Sapo de facies de megacristales
Estación 301 (PC ζ) en las inmediaciones de El Barral.*



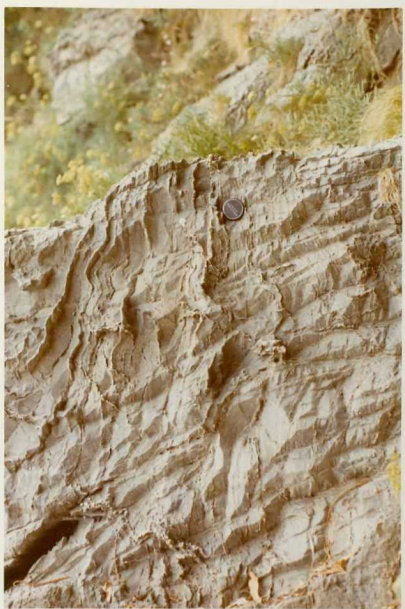
0604IBFF Detalle del contacto del Ortoneis
Estación 490 mesoglandular ($NG \gamma^1$) con las
Samitas del Silúrico (Ss).



0604IBFF Plagamiento de 3ª Fase de plano axial subhori-
Estación 4 zontal en las filitas ($O_{2,3}$) en la carretera local
de Filgueiras a Monrela.



0604IBFF Charnelas de mesopliegues de 1^a
Estación 509 Fase al N. de Bouza.



0604IBFF Mesopliegues de 2^a Fase en la Serie de Ordenes dados
Estación 637 por vénulas de cuarzo tardimetamórfico 1. Igualmente se observan mesopliegues de 3^a Fase plano axial - subhorizontal.



0604IBFF *Pliegues de 2^a Fase en la Serie de Ordenes definidos
Estación 639 por lentejas de cuarzo anfibolitas.*



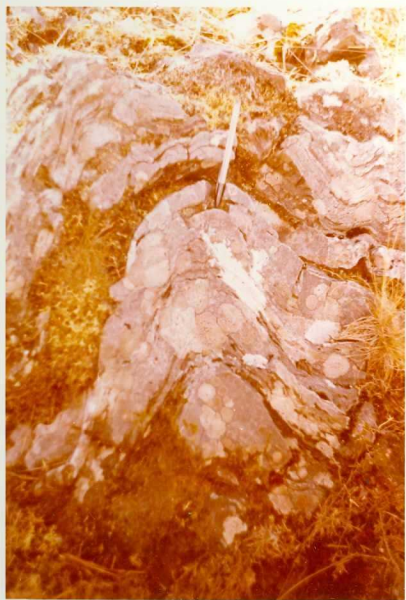
0604IBFF Contacto de Ortoamfibolitas (ξ A) con la Serie de Ordenes.
Estación 641 La foliación que se observa plagada por la 2^a Fase se continúa atenuadamente en las anfibolitas.



0604IBFF Aspecto de conjunto del Ojo de Sapo de Estación 298 megacrystalos (PC ζ). Se observan cristales maclados según Karlsbad.



0604IBFF Arrasamiento generalizado y encajamiento del
Estación 671 Río Eume al Sur de Jabariz.



0604IBFF Pliegues de 2ª Fase de plano axial subvertical
Estación 672 en cuarcitas arenigienses.